

Zeitschrift: Eclogae Geologicae Helvetiae
Herausgeber: Schweizerische Geologische Gesellschaft
Band: 67 (1974)
Heft: 2

Artikel: Geologie der Subalpinen Molasse zwischen Biberbrugg SZ, Hütten ZH und Ägerisee ZG, Schweiz
Autor: [s.n.]
Anhang: Tafeln
DOI: <https://doi.org/10.5169/seals-164291>

Nutzungsbedingungen

Die ETH-Bibliothek ist die Anbieterin der digitalisierten Zeitschriften. Sie besitzt keine Urheberrechte an den Zeitschriften und ist nicht verantwortlich für deren Inhalte. Die Rechte liegen in der Regel bei den Herausgebern beziehungsweise den externen Rechteinhabern. [Siehe Rechtliche Hinweise.](#)

Conditions d'utilisation

L'ETH Library est le fournisseur des revues numérisées. Elle ne détient aucun droit d'auteur sur les revues et n'est pas responsable de leur contenu. En règle générale, les droits sont détenus par les éditeurs ou les détenteurs de droits externes. [Voir Informations légales.](#)

Terms of use

The ETH Library is the provider of the digitised journals. It does not own any copyrights to the journals and is not responsible for their content. The rights usually lie with the publishers or the external rights holders. [See Legal notice.](#)

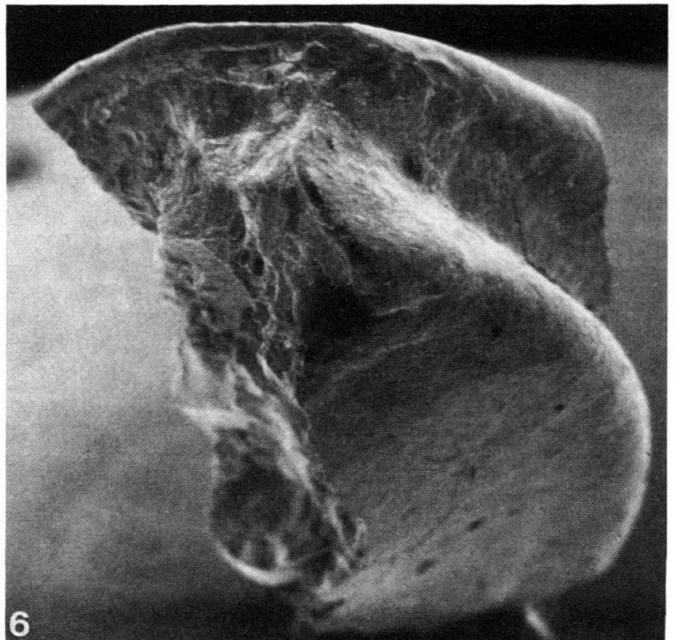
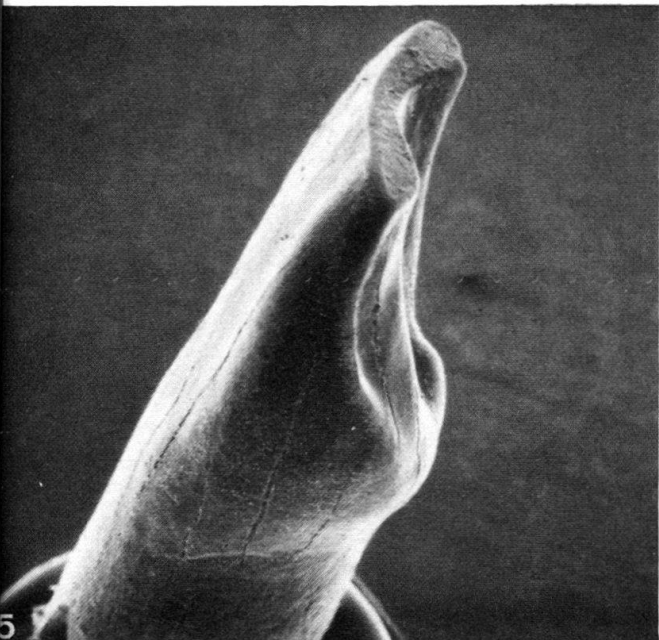
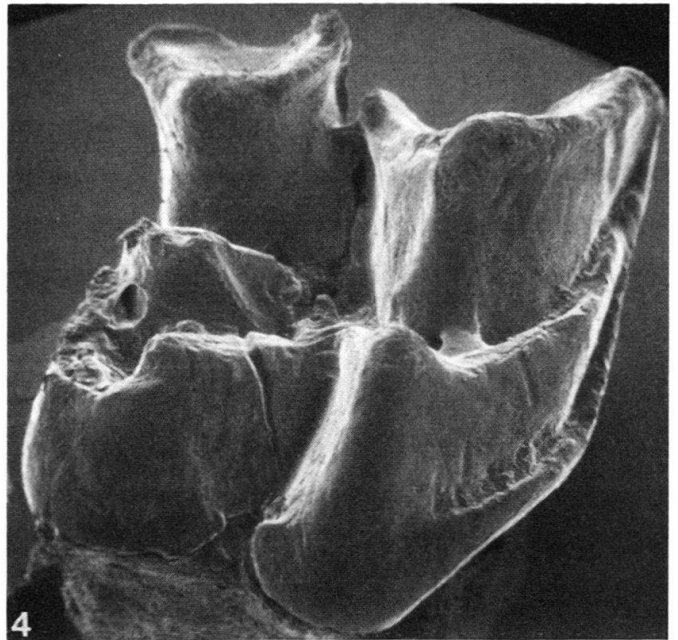
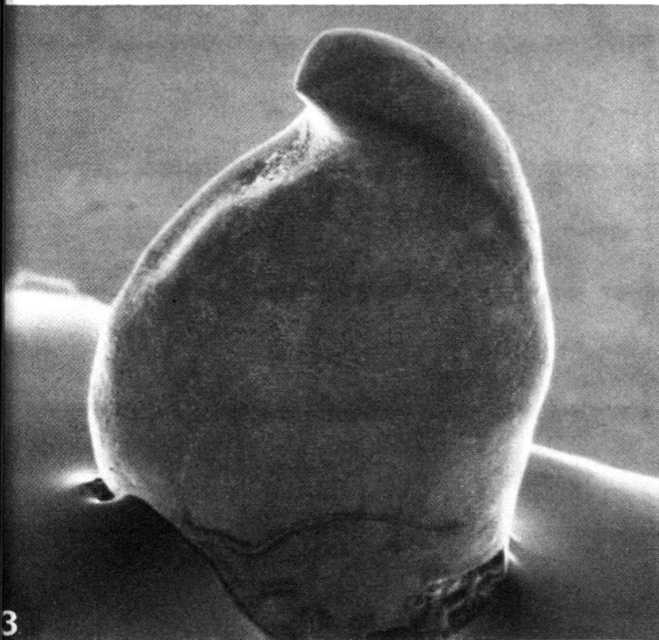
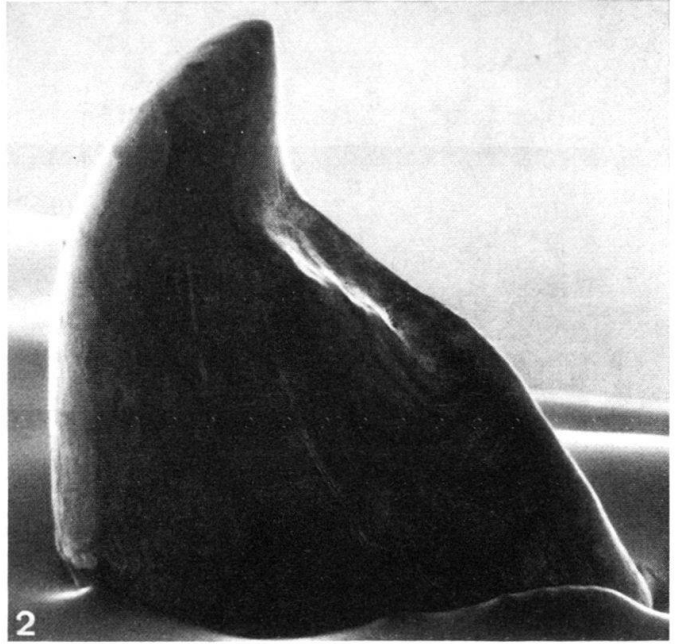
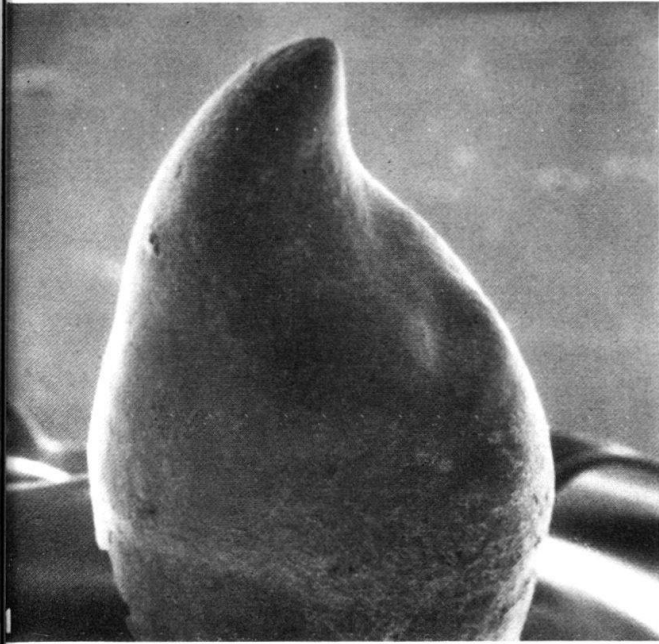
Download PDF: 31.01.2025

ETH-Bibliothek Zürich, E-Periodica, <https://www.e-periodica.ch>

Tafel I

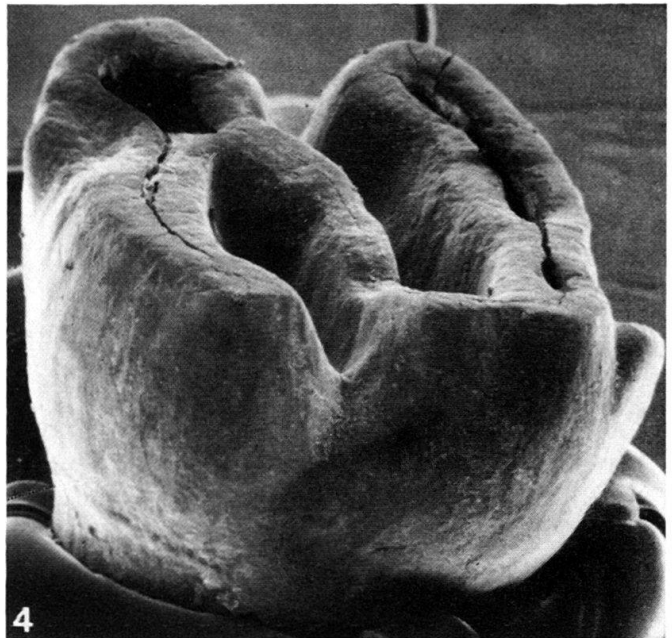
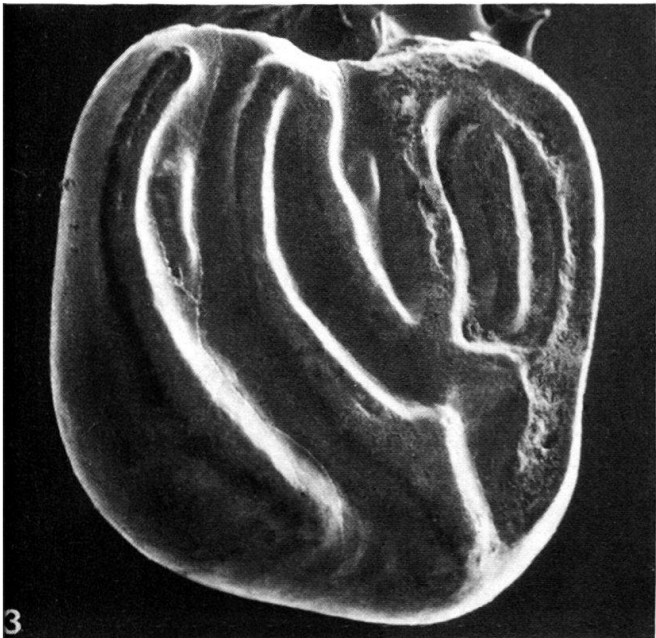
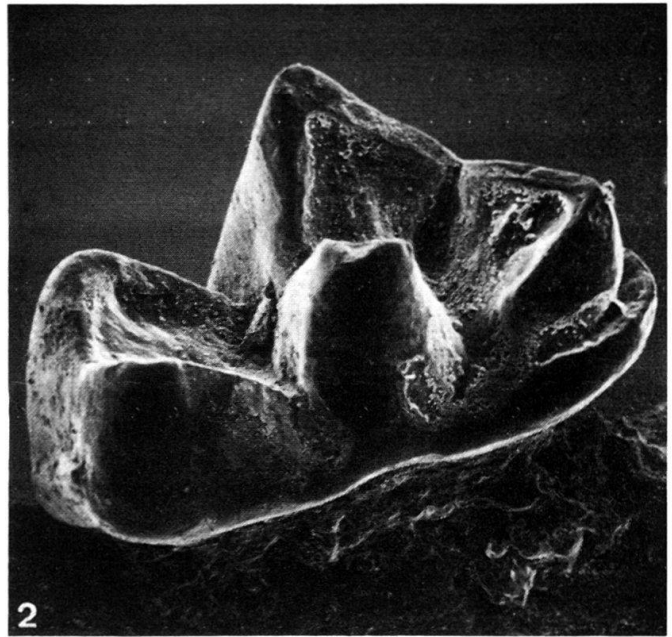
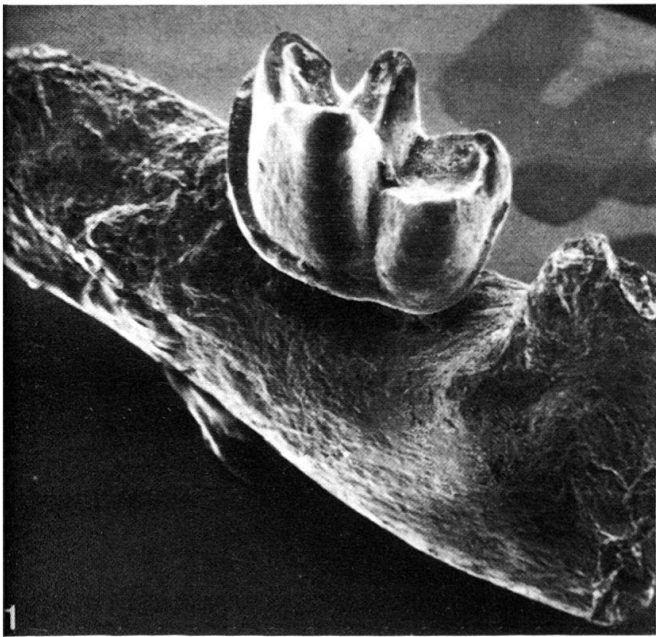
- Fig. 1 *Aspius* sp., SZ; V 70×
Fig. 2 *Gobio* sp., SZ; V 60×
Fig. 3 *Tinca* sp., SZ; V 40×
Fig. 4 *Caenotherium* sp., M₂² dext.; V 14× (Ansicht von aussen)
Fig. 5 *Caenotherium* sp., I inf.; V 40×
Fig. 6 *Theridomyidae* cf. *Issiodoromys*, Backenzahn-Fragment; V 25×

Alle Aufnahmen (Tafel I–III) wurden mit dem Scanning EM der Universität Zürich gemacht.



Tafel II

- Fig. 1 *Dimylidae* indet., $M_{\bar{3}}$ sin., Unterkieferfragment; V $15\times$ (Ansicht schräg von aussen)
- Fig. 2 Gleiches Objekt wie 1; V $35\times$ (Ansicht von innen)
- Fig. 3 *Gliridae* indet., $M^{1/2}$ sin.; V $40\times$
- Fig. 4 *Rhodanomys schlosseri transiens*, $M^{1/2}$ sin.; V $70\times$ (Ansicht schräg von aussen)
- Fig. 5 Gleiches Objekt wie 4; V $65\times$ (Kauflächenansicht)
- Fig. 6 *Rhodanomys schlosseri transiens*, $P_{\underline{4}}$ sin.; V $65\times$



Tafel III

- Fig. 1 *Rhodanomys schlosseri transiens*, P_4^- sin.; V 65 ×
- Fig. 2 *Rhodanomys schlosseri transiens*, M_3^- dext.; V 70 × (Ansicht schräg von innen)
- Fig. 3 Gleiches Objekt wie 2; V 80 × (Kauflächenansicht)
- Fig. 4 *Rhodanomys schlosseri transiens*, M_3^- dext.; V 70 ×
- Fig. 5 *Rhodanomys schlosseri transiens*, $M_{1/2}^-$ sin.; V 55 × (Ansicht schräg von aussen)
- Fig. 6 Gleiches Objekt wie 5; V 55 × (Kauflächenansicht)

